

QIJU

气举手册

《钻采工艺》增刊

四川石油管理局《钻采工艺》编辑部

附录目录

图号	名称	页数
图A3—01	天然气的压缩系数	(1)
图A3—02	60°F波纹管内充氮压力对不同温度的压力数据	(2)
图A3—03	在深度上的气体压力	(3)
图A3—04	由气柱重量引起的压力增量	(4)
图A3—05	气柱重量 ($\text{Max} \cdot p_{so} = 1200$ 磅/英寸 ²)	(5)
图A3—06	气柱重量 ($\text{Max} \cdot p_{so} = 2000$ 磅/英寸 ²)	(6)
图A3—07	随深度的气体压力 ($G = 0.6$ $\text{Max} \cdot p_{so} = 800$)	(7)
图A3—08	随深度的气体压力 ($G = 0.6$ $\text{Max} \cdot p_{so} = 1500$)	(8)
图A3—09	随深度的气体压力 ($G = 0.65$ $\text{Max} \cdot p_{so} = 800$)	(9)
图A3—10	随深度的气体压力 ($G = 0.65$ $\text{Max} \cdot p_{so} = 1500$)	(10)
图A3—11	平均压力 (确定平衡式气举阀的工作压力, $P_{svc} = 1100$)	(11)
图A3—12	平均压力 (确定平衡式气举阀的工作压力, $P_{svc} = 2100$)	(12)
图A3—13	波纹管内充氮压力的温度校正 ($T_{tro} = 80^{\circ}\text{F}$ $G = 0.6$)	(13)
图A3—14	波纹管内充氮压力的温度校正 ($T_{tro} = 80^{\circ}\text{F}$ $G = 0.6$)	(14)
图A3—15	波纹管内压力充氮的温度校正 ($T_{tro} = 60^{\circ}\text{F}$ $G = 0.6$)	(15)
图A3—16	波纹管内压力充氮的温度校正 ($T_{tro} = 60^{\circ}\text{F}$ $G = 0.6$)	(16)
图A3—17	波纹管内压力充氮的温度校正 ($T_{tro} = 60^{\circ}\text{F}$ $G = 0.6$)	(17)
图A3—18	波纹管内压力充氮的温度校正 ($T_{tro} = 60^{\circ}\text{F}$ 气体偏差校正)	(18)
图A3—19	波纹管内压力充氮的温度校正 ($T_{tro} = 80^{\circ}\text{F}$ 气体偏差校正)	(19)
图A3—20	波纹管内压力充氮的温度校正 ($T_{tro} = 80^{\circ}\text{F}$ 气体偏差校正)	(20)
图A3—21	不同嘴子尺寸的气体流量 (1000千英尺 ³ /日)	(21)
图A3—22	不同嘴子尺寸的气体流量 (4000千英尺 ³ /日)	(22)
图A3—23	不同嘴子尺寸的气体流量 (20000千英尺 ³ /日)	(23)
图A3—24	气体流量图的修正系数	(24)
图A3—25	通过嘴子的气体流量 (6/64英寸)	(25)
图A3—26	通过嘴子的气体流量 (7/64英寸)	(26)
图A3—27	通过嘴子的气体流量 (8/64英寸)	(27)
图A3—28	通过嘴子的气体流量 (9/64英寸)	(28)
图A3—29	通过嘴子的气体流量 (10/64英寸)	(29)
图A3—30	通过嘴子的气体流量 (11/64英寸)	(30)
图A3—31	通过嘴子的气体流量 (12/64英寸)	(31)
图A3—32	通过嘴子的气体流量 (13/64英寸)	(32)
图A3—33	通过嘴子的气体流量 (14/64英寸)	(33)
图A3—34	通过嘴子的气体流量 (15/64英寸)	(34)
图A3—35	通过嘴子的气体流量 (16/64英寸)	(35)

图A3—36	通过嘴子的气体流量 (17/64英寸)	(36)
图A3—37	通过嘴子的气体流量 (18/64英寸)	(37)
图A3—38	通过嘴子的气体流量 (19/64英寸)	(38)
图A3—39	通过嘴子的气体流量 (20/64英寸)	(39)
图A3—40	通过嘴子的气体流量 (22/64英寸)	(40)
图A3—41	通过嘴子的气体流量 (24/64英寸)	(41)
图A3—42	通过嘴子的气体流量 (26/64英寸)	(42)
图A3—43	通过嘴子的气体流量 (28/64英寸)	(43)
图A3—44	通过嘴子的气体流量 (30/64英寸)	(44)
图A3—45	通过嘴子的气体流量 (32/64英寸)	(45)
表A3—1	碳氢化合物及其他气体的物理常数	(46)
表A3—2	基准温度为60°F的氮气温度修正系数	(47)
表A3—3	基准温度为80°F的氮气温度修正系数	(48)
图A4—1	套管压力操作气举阀的力平衡公式	(49)
表A4—1	卡姆科公司的套管压力操作气举阀的技术规范	(50)
公称油管内径 = 1 1/2英寸		
图A5—001	流动压力梯度 (100BOPD T _{avg} = 140 °F)	(51)
图A5—002	流动压力梯度 (100BOPD T _{avg} = 190 °F)	(52)
图A5—003	流动压力梯度 (100BLPD T _{avg} = 140 °F)	(53)
图A5—004	流动压力梯度 (100BLPD T _{avg} = 190 °F)	(54)
图A5—005	流动压力梯度 (100BWPD T _{avg} = 140 °F)	(55)
图A5—006	流动压力梯度 (100BWPD T _{avg} = 190 °F)	(56)
图A5—007	流动压力梯度 (200BOPD T _{avg} = 140 °F)	(57)
图A5—008	流动压力梯度 (200BOPD T _{avg} = 190 °F)	(58)
图A5—009	流动压力梯度 (200BLPD T _{avg} = 140 °F)	(59)
图A5—010	流动压力梯度 (200BLPD T _{avg} = 190 °F)	(60)
图A5—011	流动压力梯度 (200BWPD T _{avg} = 140 °F)	(61)
图A5—012	流动压力梯度 (200BWPD T _{avg} = 190 °F)	(62)
图A5—013	流动压力梯度 (400BOPD T _{avg} = 140 °F)	(63)
图A5—014	流动压力梯度 (400BOPD T _{avg} = 190 °F)	(64)
图A5—015	流动压力梯度 (400BLPC T _{avg} = 140 °F)	(65)
图A5—016	流动压力梯度 (400BLPD T _{avg} = 190 °F)	(66)
图A5—017	流动压力梯度 (400BWPD T _{avg} = 140 °F)	(67)
图A5—018	流动压力梯度 (400BWPD T _{avg} = 190 °F)	(68)
图A5—019	流动压力梯度 (600BOPD T _{avg} = 140 °F)	(69)
图A5—020	流动压力梯度 (600BOPD T _{avg} = 190 °F)	(70)
图A5—021	流动压力梯度 (600BLPD T _{avg} = 140 °F)	(71)
图A5—022	流动压力梯度 (600BLPD T _{avg} = 190 °F)	(72)

图A5—023	流动压力梯度 (600BWPD T _{avg} = 140 °F)	(73)
图A5—024	流动压力梯度 (600BWPD T _{avg} = 190 °F)	(74)
图A5—025	流动压力梯度 (800BOPD T _{avg} = 140 °F)	(75)
图A5—026	流动压力梯度 (800BOPD T _{avg} = 190 °F)	(76)
图A5—027	流动压力梯度 (800BLPD T _{avg} = 140 °F)	(77)
图A5—028	流动压力梯度 (800BLPD T _{avg} = 190 °F)	(78)
图A5—029	流动压力梯度 (800BWPD T _{avg} = 140 °F)	(79)
图A5—030	流动压力梯度 (800BWPD T _{avg} = 190 °F)	(80)
图A5—031	流动压力梯度 (1000 BOPD T _{avg} = 140 °F)	(81)
图A5—032	流动压力梯度 (1000 BOPD T _{avg} = 190 °F)	(82)
图A5—033	流动压力梯度 (1000 BLPD T _{avg} = 140 °F)	(83)
图A5—034	流动压力梯度 (1000 BLPD T _{avg} = 190 °F)	(84)
图A5—035	流动压力梯度 (1000BWPD T _{avg} = 140 °F)	(85)
图A5—036	流动压力梯度 (1000BWPD T _{avg} = 190 °F)	(86)

公称油管内径 = 2 英寸

图A5—037	流动压力梯度 (200 BOPD T _{avg} = 140 °F)	(87)
图A5—038	流动压力梯度 (200 BOPD T _{avg} = 190 °F)	(88)
图A5—039	流动压力梯度 (200 BLPD T _{avg} = 140 °F)	(89)
图A5—040	流动压力梯度 (200 BLPD T _{avg} = 190 °F)	(90)
图A5—041	流动压力梯度 (200BWPD T _{avg} = 140 °F)	(91)
图A5—042	流动压力梯度 (200BWPD T _{avg} = 190 °F)	(92)
图A5—043	流动压力梯度 (400 BOPD T _{avg} = 140 °F)	(93)
图A5—044	流动压力梯度 (400 BOPD T _{avg} = 190 °F)	(94)
图A5—045	流动压力梯度 (400 BLPD T _{avg} = 140 °F)	(95)
图A5—046	流动压力梯度 (400 BLPD T _{avg} = 190 °F)	(96)
图A5—047	流动压力梯度 (400BWPD T _{avg} = 140 °F)	(97)
图A5—048	流动压力梯度 (400BWPD T _{avg} = 190 °F)	(98)
图A5—049	流动压力梯度 (600 BOPD T _{avg} = 140 °F)	(99)
图A5—050	流动压力梯度 (600 BOPD T _{avg} = 190 °F)	(100)
图A5—051	流动压力梯度 (600 BLPD T _{avg} = 140 °F)	(101)
图A5—052	流动压力梯度 (600 BLPD T _{avg} = 190 °F)	(102)
图A5—053	流动压力梯度 (600BWPD T _{avg} = 140 °F)	(103)
图A5—054	流动压力梯度 (600BWPD T _{avg} = 190 °F)	(104)
图A5—055	流动压力梯度 (800 BOPD T _{avg} = 140 °F)	(105)
图A5—056	流动压力梯度 (800 BOPD T _{avg} = 190 °F)	(106)
图A5—057	流动压力梯度 (800 BLPD T _{avg} = 140 °F)	(107)
图A5—058	流动压力梯度 (800 BLPD T _{avg} = 190 °F)	(108)
图A5—059	流动压力梯度 (800BWPD T _{avg} = 140 °F)	(109)

图A5—060	流动压力梯度 (800BWPD T _{avg} = 190 °F)	(110)
图A5—061	流动压力梯度 (1000 BOPD T _{avg} = 140 °F)	(111)
图A5—062	流动压力梯度 (1000 BOPD T _{avg} = 190 °F)	(112)
图A5—063	流动压力梯度 (1000 BLPD T _{avg} = 140 °F)	(113)
图A5—064	流动压力梯度 (1000 BLPD T _{avg} = 190 °F)	(114)
图A5—065	流动压力梯度 (1000BWPD T _{avg} = 140 °F)	(115)
图A5—066	流动压力梯度 (1000BWPD T _{avg} = 190 °F)	(116)
图A5—067	流动压力梯度 (1500 BOPD T _{avg} = 140 °F)	(117)
图A5—068	流动压力梯度 (1500 BOPD T _{avg} = 190 °F)	(118)
图A5—069	流动压力梯度 (1500 BLPD T _{avg} = 140 °F)	(119)
图A5—070	流动压力梯度 (1500 BLPD T _{avg} = 190 °F)	(120)
图A5—071	流动压力梯度 (1500BWPD T _{avg} = 140 °F)	(121)
图A5—072	流动压力梯度 (1500BWPD T _{avg} = 190 °F)	(122)
图A5—073	流动压力梯度 (2000BOPD T _{avg} = 140 °F)	(123)
图A5—074	流动压力梯度 (2000BOPD T _{avg} = 190 °F)	(124)
图A5—075	流动压力梯度 (2000BLPD T _{avg} = 140 °F)	(125)
图A5—076	流动压力梯度 (2000BLPD T _{avg} = 190 °F)	(126)
图A5—077	流动压力梯度 (2000BWPD T _{avg} = 140 °F)	(127)
图A5—078	流动压力梯度 (2000BWPD T _{avg} = 190 °F)	(128)

公称油管内径 = 2 1/2英寸

图 A5—079	流动压力梯度 (200 BOPD T _{avg} = 140 °F)	(129)
图 A5—080	流动压力梯度 (200BOPD T _{avg} = 190 °F)	(130)
图 A5—081	流动压力梯度 (200BLPD T _{avg} = 140 °F)	(131)
图 A5—082	流动压力梯度 (200BLPD T _{avg} = 190 °F)	(132)
图 A5—083	流动压力梯度 (200BWPD T _{avg} = 140 °F)	(133)
图 A5—084	流动压力梯度 (200BWPD T _{avg} = 190 °F)	(134)
图 A5—085	流动压力梯度 (400BOPD T _{avg} = 140 °F)	(135)
图 A5—086	流动压力梯度 (400BOPD T _{avg} = 190 °F)	(136)
图 A5—087	流动压力梯度 (400BLPD T _{avg} = 140 °F)	(137)
图 A5—088	流动压力梯度 (400BLPD T _{avg} = 190 °F)	(138)
图 A5—089	流动压力梯度 (400BWPD T _{avg} = 140 °F)	(139)
图 A5—090	流动压力梯度 (400BWPD T _{avg} = 190 °F)	(140)
图 A5—091	流动压力梯度 (600BOPD T _{avg} = 140 °F)	(141)
图 A5—092	流动压力梯度 (600BOPD T _{avg} = 190 °F)	(142)
图 A5—093	流动压力梯度 (600BLPD T _{avg} = 140 °F)	(143)
图 A5—094	流动压力梯度 (600BLPD T _{avg} = 190 °F)	(144)
图 A5—095	流动压力梯度 (600BWPD T _{avg} = 140 °F)	(145)
图 A5—096	流动压力梯度 (600BWPD T _{avg} = 190 °F)	(146)

图 A5—097	流动压力梯度 (800BOPD	Tavg = 140 °F)	(147)
图 A5—098	流动压力梯度 (800BOPD	Tavg = 190 °F)	(148)
·图 A5—099	流动压力梯度 (800BLPD	Tavg = 140 °F)	(149)
图 A5—100	流动压力梯度 (800BLPD	Tavg = 190 °F)	(150)
图 A5—101	流动压力梯度 (800BWPD	Tavg = 140 °F)	(151)
图 A5—102	流动压力梯度 (800BWPD	Tavg = 190 °F)	(152)
图 A5—103	流动压力梯度 (1000BOPD	Tavg = 140 °F)	(153)
图 A5—104	流动压力梯度 (1000BOPD	Tavg = 190 °F)	(154)
图 A5—105	流动压力梯度 (1000BLPD	Tavg = 140 °F)	(155)
图 A5—106	流动压力梯度 (1000BLPD	Tavg = 190 °F)	(156)
图 A5—107	流动压力梯度 (1000BWPD	Tavg = 140 °F)	(157)
图 A5—108	流动压力梯度 (1000BWPD	Tavg = 190 °F)	(158)
图 A5—109	流动压力梯度 (1500BOPD	Tavg = 140 °F)	(159)
图 A5—110	流动压力梯度 (1500BOPD	Tavg = 190 °F)	(160)
图 A5—111	流动压力梯度 (1500BLPD	Tavg = 140 °F)	(161)
图 A5—112	流动压力梯度 (1500BLPD	Tavg = 190 °F)	(162)
图 A5—113	流动压力梯度 (1500BWPD	Tavg = 140 °F)	(163)
图 A5—114	流动压力梯度 (1500BWPD	Tavg = 190 °F)	(164)
图 A5—115	流动压力梯度 (2000BOPD	Tavg = 140 °F)	(165)
图 A5—116	流动压力梯度 (2000BOPD	Tavg = 190 °F)	(166)
图 A5—117	流动压力梯度 (2000BLPD	Tavg = 140 °F)	(167)
图 A5—118	流动压力梯度 (2000BLPD	Tavg = 190 °F)	(168)
图 A5—119	流动压力梯度 (2000BWPD	Tavg = 140 °F)	(169)
图 A5—120	流动压力梯度 (2000BWPD	Tavg = 190 °F)	(170)
图 A5—121	流动压力梯度 (3000BOPD	Tavg = 140 °F)	(171)
图 A5—122	流动压力梯度 (3000BOPD	Tavg = 190 °F)	(172)
图 A5—123	流动压力梯度 (3000BLPD	Tavg = 140 °F)	(173)
图 A5—124	流动压力梯度 (3000BLPD	Tavg = 190 °F)	(174)
图 A5—125	流动压力梯度 (3000BWPD	Tavg = 140 °F)	(175)
图 A5—126	流动压力梯度 (3000BWPD	Tavg = 190 °F)	(176)

公称油管内径 = 3 英寸

图 A5—127	流动压力梯度 (400BOPD	Tavg = 140 °F)	(177)
图 A5—128	流动压力梯度 (400BOPD	Tavg = 190 °F)	(178)
图 A5—129	流动压力梯度 (400BLPD	Tavg = 140 °F)	(179)
图 A5—130	流动压力梯度 (400BLPD	Tavg = 190 °F)	(180)
图 A5—131	流动压力梯度 (400BWPD	Tavg = 140 °F)	(181)
图 A5—132	流动压力梯度 (400BWPD	Tavg = 190 °F)	(182)
图 A5—133	流动压力梯度 (600BOPD	Tavg = 140 °F)	(183)

图 A5—134	流动压力梯度 (600BOPD	$T_{avg} = 190^{\circ}\text{F}$)	(184)
图 A5—135	流动压力梯度 (600BLPD	$T_{avg} = 140^{\circ}\text{F}$)	(185)
图 A5—136	流动压力梯度 (600BLPD	$T_{avg} = 190^{\circ}\text{F}$)	(186)
图 A5—137	流动压力梯度 (600BWPD	$T_{avg} = 140^{\circ}\text{F}$)	(187)
图 A5—138	流动压力梯度 (600BWPD	$T_{avg} = 190^{\circ}\text{F}$)	(188)
图 A5—139	流动压力梯度 (800BOPD	$T_{avg} = 140^{\circ}\text{F}$)	(189)
图 A5—140	流动压力梯度 (800BOPD	$T_{avg} = 190^{\circ}\text{F}$)	(190)
图 A5—141	流动压力梯度 (800BLPD	$T_{avg} = 140^{\circ}\text{F}$)	(191)
图 A5—142	流动压力梯度 (800BLPD	$T_{avg} = 190^{\circ}\text{F}$)	(192)
图 A5—143	流动压力梯度 (800BWPD	$T_{avg} = 140^{\circ}\text{F}$)	(193)
图 A5—144	流动压力梯度 (800BWPD	$T_{avg} = 190^{\circ}\text{F}$)	(194)
图 A5—145	流动压力梯度 (1000BOPD	$T_{avg} = 140^{\circ}\text{F}$)	(195)
图 A5—146	流动压力梯度 (1000BOPD	$T_{avg} = 190^{\circ}\text{F}$)	(196)
图 A5—147	流动压力梯度 (1000BLPD	$T_{avg} = 140^{\circ}\text{F}$)	(197)
图 A5—148	流动压力梯度 (1000BLPD	$T_{avg} = 190^{\circ}\text{F}$)	(198)
图 A5—149	流动压力梯度 (1000BWPD	$T_{avg} = 140^{\circ}\text{F}$)	(199)
图 A5—150	流动压力梯度 (1000BWPD	$T_{avg} = 190^{\circ}\text{F}$)	(200)
图 A5—151	流动压力梯度 (1500BOPD	$T_{avg} = 140^{\circ}\text{F}$)	(201)
图 A5—152	流动压力梯度 (1500BOPD	$T_{avg} = 190^{\circ}\text{F}$)	(202)
图 A5—153	流动压力梯度 (1500BLPD	$T_{avg} = 140^{\circ}\text{F}$)	(203)
图 A5—154	流动压力梯度 (1500BLPD	$T_{avg} = 190^{\circ}\text{F}$)	(204)
图 A5—155	流动压力梯度 (1500BWPD	$T_{avg} = 140^{\circ}\text{F}$)	(205)
图 A5—156	流动压力梯度 (1500BWPD	$T_{avg} = 190^{\circ}\text{F}$)	(206)
图 A5—157	流动压力梯度 (2000BOPD	$T_{avg} = 140^{\circ}\text{F}$)	(207)
图 A5—158	流动压力梯度 (2000BOPD	$T_{avg} = 190^{\circ}\text{F}$)	(208)
图 A5—159	流动压力梯度 (2000BLPD	$T_{avg} = 140^{\circ}\text{F}$)	(209)
图 A5—160	流动压力梯度 (2000BLPD	$T_{avg} = 190^{\circ}\text{F}$)	(210)
图 A5—161	流动压力梯度 (2000BWPD	$T_{avg} = 140^{\circ}\text{F}$)	(211)
图 A5—162	流动压力梯度 (2000BWPD	$T_{avg} = 190^{\circ}\text{F}$)	(212)
图 A5—163	流动压力梯度 (3000BOPD	$T_{avg} = 140^{\circ}\text{F}$)	(213)
图 A5—164	流动压力梯度 (3000BOPD	$T_{avg} = 190^{\circ}\text{F}$)	(214)
图 A5—165	流动压力梯度 (3000BLPD	$T_{avg} = 140^{\circ}\text{F}$)	(215)
图 A5—166	流动压力梯度 (3000BLPD	$T_{avg} = 190^{\circ}\text{F}$)	(216)
图 A5—167	流动压力梯度 (3000BWPD	$T_{avg} = 140^{\circ}\text{F}$)	(217)
图 A5—168	流动压力梯度 (3000BWPD	$T_{avg} = 190^{\circ}\text{F}$)	(218)
图 A5—169	流动压力梯度 (4000BOPD	$T_{avg} = 140^{\circ}\text{F}$)	(219)
图 A5—170	流动压力梯度 (4000BOPD	$T_{avg} = 190^{\circ}\text{F}$)	(220)
图 A5—171	流动压力梯度 (4000BLPD	$T_{avg} = 140^{\circ}\text{F}$)	(221)

图 A5—172	流动压力梯度 (4000BLPD)	$T_{avg} = 190^{\circ}\text{F}$	(222)
图 A5—173	流动压力梯度 (4000BWPD)	$T_{avg} = 140^{\circ}\text{F}$	(223)
图 A5—174	流动压力梯度 (4000BWPD)	$T_{avg} = 190^{\circ}\text{F}$	(224)
图 A5—175	流动压力梯度 (6000BOPD)	$T_{avg} = 140^{\circ}\text{F}$	(225)
图 A5—176	流动压力梯度 (6000BOPD)	$T_{avg} = 190^{\circ}\text{F}$	(226)
图 A5—177	流动压力梯度 (6000BLPD)	$T_{avg} = 140^{\circ}\text{F}$	(227)
图 A5—178	流动压力梯度 (6000BLPD)	$T_{avg} = 190^{\circ}\text{F}$	(228)
图 A5—179	流动压力梯度 (6000BWPD)	$T_{avg} = 140^{\circ}\text{F}$	(229)
图 A5—180	流动压力梯度 (6000BWPD)	$T_{avg} = 190^{\circ}\text{F}$	(230)
图 A5—181	流动压力梯度 (8000BOPD)	$T_{avg} = 140^{\circ}\text{F}$	(231)
图 A5—182	流动压力梯度 (8000BOPD)	$T_{avg} = 190^{\circ}\text{F}$	(232)
图 A5—183	流动压力梯度 (8000BLPD)	$T_{avg} = 140^{\circ}\text{F}$	(233)
图 A5—184	流动压力梯度 (8000BLPD)	$T_{avg} = 190^{\circ}\text{F}$	(234)
图 A5—185	流动压力梯度 (8000BWPD)	$T_{avg} = 140^{\circ}\text{F}$	(235)
图 A5—186	流动压力梯度 (8000BWPD)	$T_{avg} = 190^{\circ}\text{F}$	(236)
图 A5—187	2英寸油管的流动压力梯度		(237)
图 A5—188	2½英寸油管的流动压力梯度		(238)
图 A5—189	3英寸油管的流动压力梯度		(239)
图 A5—190	斯坦丁混合体积系数图 (确定Jog)		(240)
图 A5—191	斯坦丁混合体积系数图 (确定饱和压力)		(241)
图 A5—192	斯坦丁混合体积系数图 (确定饱和点液体的地层体积)		(242)

水平管的流动压力梯度曲线 (图A5—193~图A5—247)

出油管内径	2.0英寸	
图A5—193	50BWPD	(243)
图A5—194	200BWPD	(244)
图A5—195	400BWPD	(245)
图A5—196	600BWPD	(246)
图A5—197	800BWPD	(247)
图A5—198	1000BWPD	(248)
图A5—199	1500BWPD	(249)
图A5—200	2000BWPD	(250)
图A5—201	2500BWPD	(251)
出油管内径	2.5英寸	
图A5—202	50BWPD	(252)
图A5—203	200BWPD	(253)
图A5—204	400BWPD	(254)
图A5—205	600BWPD	(255)
图A5—206	800BWPD	(256)

图A5—207	1000BWPD	(257)
图A5—208	1500BWPD	(258)
图A5—209	2000BWPD	(259)
图A5—210	3000BWPD	(260)
图A5—211	4000BWPD	(261)
出油管内径	3.0英寸	
图A5—212	50BWPD	(262)
图A5—213	200BWPD	(263)
图A5—214	400BWPD	(264)
图A5—215	600BWPD	(265)
图A5—216	800BWPD	(266)
图A5—217	1000BWPD	(267)
图A5—218	1500BWPD	(268)
图A5—219	2000BWPD	(269)
图A5—220	3000BWPD	(270)
图A5—221	4000BWPD	(271)
图A5—222	5000BWPD	(272)
出油管内径	3.5英寸	
图A5—223	50BWPD	(273)
图A5—224	200BWPD	(274)
图A5—225	400BWPD	(275)
图A5—226	600BWPD	(276)
图A5—227	800BWPD	(277)
图A5—228	1000BWPD	(278)
图A5—229	1500BWPD	(279)
图A5—230	2000BWPD	(280)
图A5—231	3000BWPD	(281)
图A5—232	4000BWPD	(282)
图A5—233	5000BWPD	(283)
图A5—234	6000BWPD	(284)
出油管内径	4.0英寸	
图A5—235	50BWPD	(285)
图A5—236	200BWPD	(286)
图A5—237	400BWPD	(287)
图A5—238	600BWPD	(288)
图A5—239	800BWPD	(289)
图A5—240	1000BWPD	(290)
图A5—241	1500BWPD	(291)

图 A5—242	2000BWPD	(292)
图 A5—243	3000BWPD	(293)
图 A5—244	4000BWPD	(294)
图 A5—245	5000BWPD	(295)
图 A5—246	6000BWPD	(296)
图 A5—247	8000BWPD	(297)
图 A6—1	不同产率、地温梯度及油管尺寸下的流动温度梯度	(298)
图 A6—2	盐水—油混合物的梯度	(299)
图 A6—3A	非平衡式气举阀的油管效应 ($A_b = 0.77$ $d_{v1} = \frac{3}{8}$)	(300)
图 A6—3B	非平衡式气举阀的油管效应 ($A_b = 0.32$ $d_{v1} = \frac{3}{16}$)	(301)
图 A6—3C	非平衡式气举阀的油管效应 ($A_b = 0.32$ $d_{v1} = \frac{1}{4}$)	(302)
图 A6—3D	非平衡式气举阀的油管效应 ($A_b = 0.32$ $d_{v1} = \frac{5}{16}$)	(303)
图 A6—4A	确定60°F下阀的调试打开压力 ($d_{v1} = \frac{1}{4}$ 英寸)	(304)
图 A6—4B	确定60°F下阀的调试打开压力 ($d_{v1} = \frac{3}{16}$)	(305)
表 A6—1	液体重量换算表	(306)
图 A7—1	不同产率及油管尺寸下的间距系数 (SF)	(307)
图 A7—3	计算阀间距的卸载梯度 (全油)	(308)
图 A7—3	计算阀间距的卸载梯度 (全水)	(309)
图 A7—4	间歇气举每周期的注入气需用量	(310)
图 A7—5	间歇气举环空压力降 (套管尺寸—4½英寸)	(311)
图 A7—6	间歇气举环空压力降 (套管尺寸—5英寸)	(312)
图 A7—7	间歇气举环空压力降 (套管尺寸—5½英寸)	(313)
图 A7—8	间歇气举环空压力降 (套管尺寸—6英寸)	(314)
图 A7—9	间歇气举环空压力降 (套管尺寸—6½英寸)	(315)
图 A7—10	间歇气举环空压力降 (套管尺寸—7英寸)	(316)
图 A7—11	间歇气举环空压力降 (套管尺寸—7½英寸)	(317)
图 A7—12	间歇气举环空压力降 (套管尺寸—9½英寸)	(318)
图 A7—13	地面注入气用嘴子控制的间歇气举阀的R值选择 (阀的外径 = 1½英寸)	(319)
图 A7—14	地面注入气用嘴子控制的间歇气举阀的R值选择 (阀的外径 = 1英寸)	(320)
图 A7—15	计算阀间距的简化卸载梯度曲线 (2英寸油管)	(321)
图 A7—16	计算阀间距的简化卸载梯度曲线 (2½英寸油管)	(322)
图 A7—17A	间歇气举气体需用量 (2英寸—50磅/英寸 ²)	(323)
图 A7—17B	间歇气举气体需用量 (2英寸—100磅/英寸 ²)	(324)
图 A7—17C	间歇气举气体需用量 (2½英寸—50磅/英寸 ²)	(325)
图 A7—17D	间歇气举气体需用量 (2½英寸—100磅/英寸 ²)	(326)
表 A8—1	腔室环空容积与腔室上部油管容积的比值	(327)

表 A9—1	卡姆科公司的油管压力操作阀的技术规范	(328)
图 A10—1	柱塞气举近似的用气量及所需的压力值(2英寸油管)	(329)
图 A10—2	柱塞气举近似的用气量及所需的力值(2½英寸油管)	(330)
图 A10—3	2英寸油管的柱塞气举近似套压和气体需用量($P_{w_h} = 0$)	(331)
图 A10—4	2英寸油管的柱塞气举近似套压和气体需用量($P_{w_h} = 30$)	(332)
图 A10—5	2英寸油管的柱塞气举近似套压和气体需用量($P_{w_h} = 60$)	(333)
图 A10—6	2英寸油管的柱塞气举近似套压和气体需用量($P_{w_h} = 100$)	(334)
图 A10—7	2英寸油管的柱塞气举近似套压和气体需用量($P_{w_h} = 150$)	(335)
图 A10—8	2英寸油管的柱塞气举近似套压和气体需用量($P_{w_h} = 200$)	(336)
图 A10—9	2½英寸油管的柱塞气举近似套压和气体需用量($P_{w_h} = 0$)	(337)
图 A10—10	2½英寸油管的柱塞气举近似套压和气体需用量($P_{w_h} = 30$)	(338)
图 A10—11	2½英寸油管的柱塞气举近似套压和气体需用量($P_{w_h} = 60$)	(339)
图 A10—12	2½英寸油管的柱塞气举近似套压和气体需用量($P_{w_h} = 100$)	(340)
图 A10—13	2½英寸油管的柱塞气举近似套压和气体需用量($P_{w_h} = 150$)	(341)
图 A10—14	2½英寸油管的柱塞气举近似套压和气体需用量($P_{w_h} = 200$)	(342)
图 A10—15	3英寸油管的柱塞气举近似套压和气体需用量($P_{w_h} = 0$)	(343)
图 A10—16	3英寸油管的柱塞气举近似套压和气体需用量($P_{w_h} = 30$)	(344)
图 A10—17	3英寸油管的柱塞气举近似套压和气体需用量($P_{w_h} = 60$)	(345)
图 A10—18	3英寸油管的柱塞气举近似套压和气体需用量($P_{w_h} = 100$)	(346)
图 A10—19	3英寸油管的柱塞气举近似套压和气体需用量($P_{w_h} = 150$)	(347)
图 A10—20	3英寸油管的柱塞气举近似套压和气体需用量($P_{w_h} = 200$)	(348)
表 A11—1	组合平行油管柱直径(接箍错开,两根管柱一齐下入)	(349)
表 A11—2	组合平行油管柱直径(平行管柱分别下入)	(350)
表 A11—3	单油管柱井的环空容积	(351)
表 A11—4	下有两平行油管柱井的环空容积	(352)
表 A11—5	同心小油管气举装置的环空容积	(353)
表 A12—1	根据抗拉屈服强度确定小油管的下入深度(英尺)	(353)
图 A13—1	气体流过小直径高压管线的威莫斯列线图	(354)
表 G A—1	圆面积	(355)
表 G A—2(A)	油管尺寸数据	(356)
表 G A—2(B)	油管尺寸数据	(357)
表 G A—3	套管尺寸	(358)
G A—4	换算系数	(359)
G A—5	公式	(360)

图 A 3—01 天然气的压缩系数

例题

已知: 1. 气柱的平均温度 $T_{avg} = 38^\circ F$

2. 天然气比重 $G = 0.75$

3. 平均压力 $P_{avg} = 730 \text{ 磅/英寸}^2$ (表压)

求: 压缩系数 Z

解: 从图得出 $Z = 0.842$

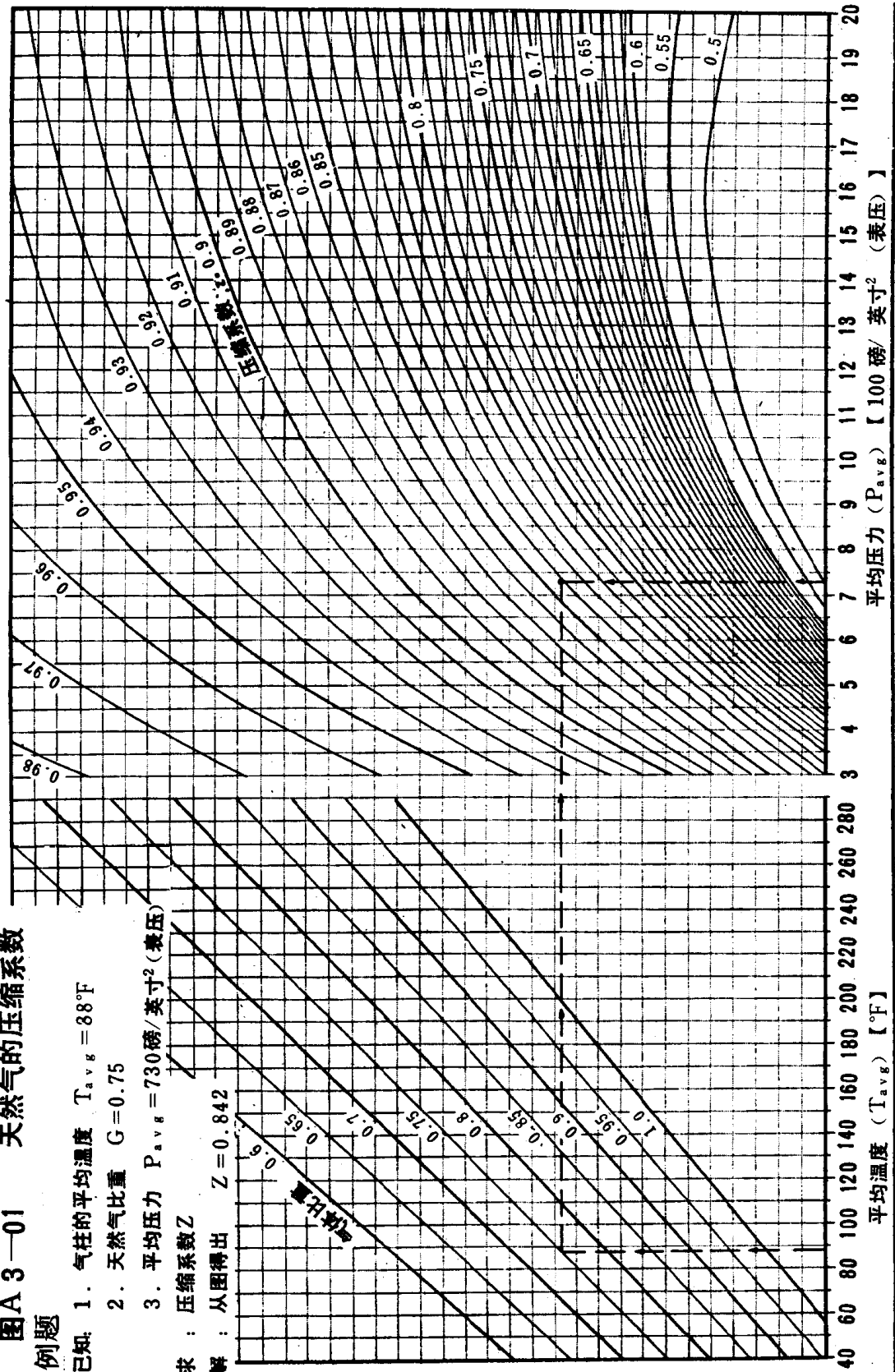


图 A 3—02

60°F 波纹管内充氮压力对不同温度的压力数据

例题 1 已知: $P_b = 825$ 磅/英寸² (表压) @ 60°F

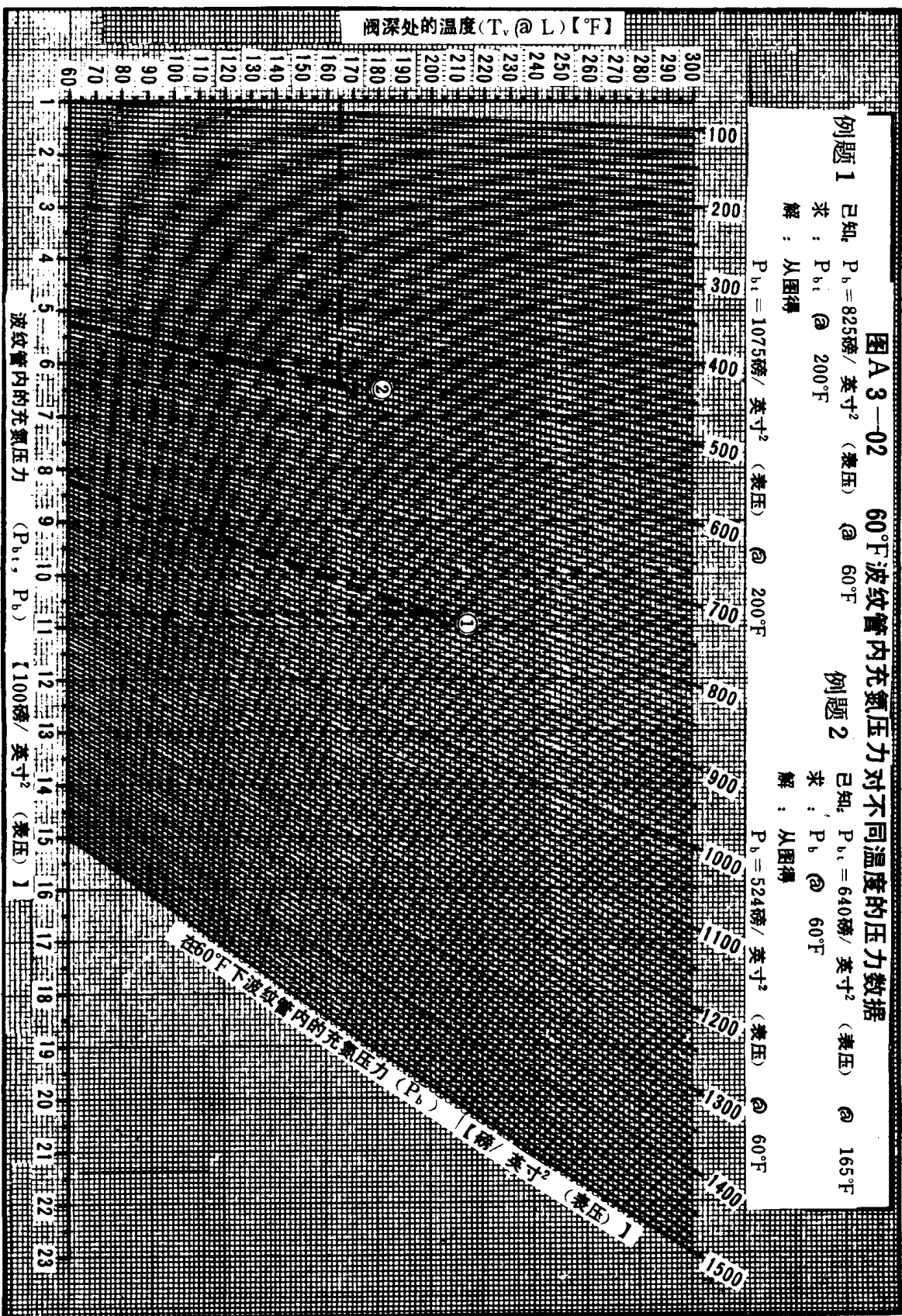
例题 2 已知: $P_{bt} = 640$ 磅/英寸² (表压) @ 165°F

求: P_b @ 200°F

解: 从图得

$$P_{bt} = 1075 \text{ 磅/英寸}^2 \text{ (表压)} @ 200°F$$

$$P_b = 524 \text{ 磅/英寸}^2 \text{ (表压)} @ 60°F$$



例题

已知:

1. 地面气体压力 $P_s = 650 \text{ 磅/英寸}^2$ (表压)
 2. 天然气比重 $G = 0.75$
 3. 气柱长度 $L = 6000 \text{ 英尺}$
 4. 气柱平均温度 $T_{avg} = 88^\circ\text{F}$
 5. 压缩系数 $Z = 0.845$
- 求 : P_v @ 6000英尺
- 解 : 从图得出
 $P_v = 783 \text{ 磅/英寸}^2$ (表压)

图 A 3-03 随深度的气体压力

图表依据的公式: $P_v = P_s (e)^{\frac{GL}{53.34 T_{avg} Z}}$

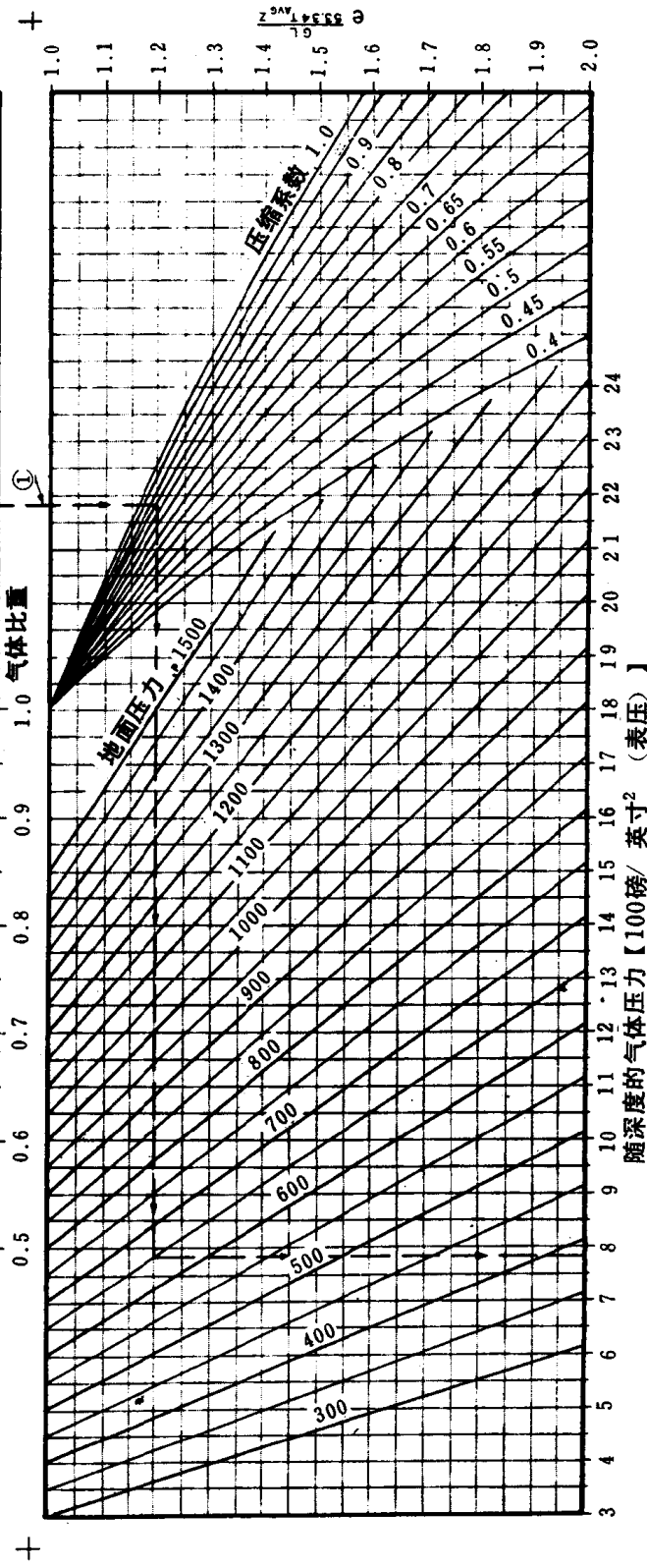
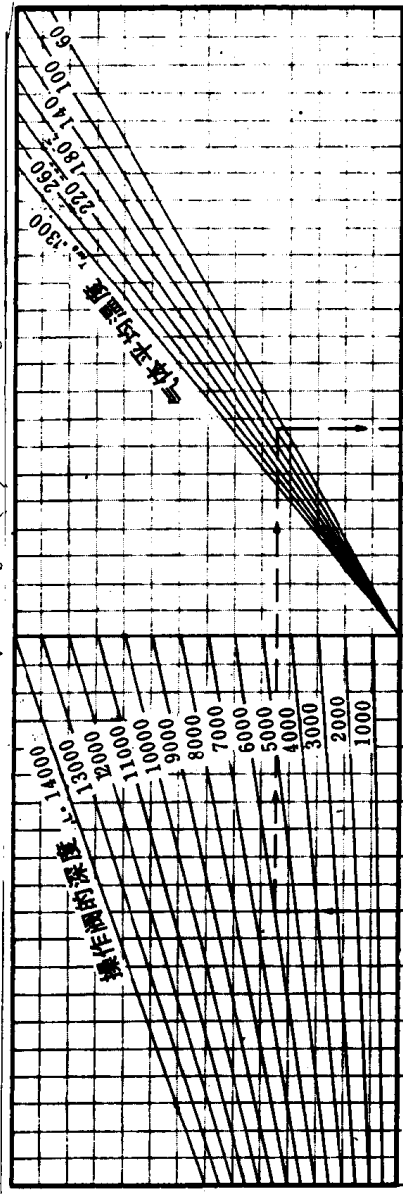


图 A 3—04 由气柱重量引起的压力增量

图表依据：

1. 天然气比重 $G = 0.6$
2. 井口温度 $T_w = 100^\circ\text{F}$
3. 随深度的温度
 $T_v = 70^\circ\text{F} + 1.6^\circ\text{F} \times (\text{深度}) / 100 \text{ 英尺}$

